

密閉型波力発電ケーソンの数値モデル化

東北大学大学院 学生員 ○ 田中 重人
東北大学工学部 正員 沢本 正樹

1. はじめに

著者らは、図-1に示すようなケーソンに組み込まれた1組の水弁装置を持つ波力発電ケーソン提案し、その可能性や、水弁の特性¹⁾²⁾、また実験的に整流効果、変換効率等について報告した。しかし、これらの検討においては、1) 準静的取扱をする、2) 各パーツを独立のものとして扱う、3) 空気の圧縮性の効果を無視する、などの仮定を含んでいる。ここでは上記3項目を考慮にいれて外力波と波力発電システム内の水、空気の運動を一連のものとする解析手法を提案する。

2. 各部分の式式化

2. 1 波力空気室と空気槽の水面の運動

波力空気室の水面の運動は、SPRING-MAS-DASHPOT SYSTEMでモデル化する。(図-2)

$$\rho s L h (1 + C_m) \frac{d^2 \eta}{dt^2} + \rho s v C_r \frac{L}{b} \frac{d \eta}{dt} + \rho s g L \eta = F_p - \rho g H_u L$$

式中の C_m は付加質量係数で、流体の加速度を η で代表させた補正とケーソン前面での付加質量とを考慮すると、 $C_m = L/2b - 1/2 + \pi b/4h$ となる。系を自由振動させることにより C_m と C_r (減衰項の係数)は実験的に求めることができるが、その結果によると、 C_m は流体の加速度を η で代表させた補正だけで十分のようである($C_m = L/2b - 1/2$)。外力項の F_p は、ポテンシャル理論による外力圧で、入射波高 H_u 、反射率 K_r のとき、

$$F_p = \rho s \frac{H_u g}{2k} \frac{\sinh kb}{\cosh kb} (1 + K_r) \cos \sigma t$$

となる。空気槽の水面の運動については波力空気室と同様に考える。(図-3) 但し外力項は空気槽の変動圧のみとなる。例えば、空気槽Aについては、

$$C_a W_A \frac{d^2 \eta_A}{dt^2} + \rho s v C_{rA} B_A \frac{d \eta_A}{dt} + \rho s g (\eta_A A_A) + \eta_A \frac{A_{A1}}{A_{A0}} A_{A0} = \rho g H_A A_A$$

となる。空気槽Bについては添え字AをBに変えればよい。

2. 2 波力空気室と空気槽の空気の運動(図-2, 図-4) ここでは、質量保存、気体の状態方程式、熱量について考える。気室の体積と水面の変化の関係が、 $-A_w \eta = V_w$ であるから質量の保存則は、

$$\frac{d}{dt} (\rho_0 + \rho_w) (V_{w0} + V_w) = -M_A + M_B$$

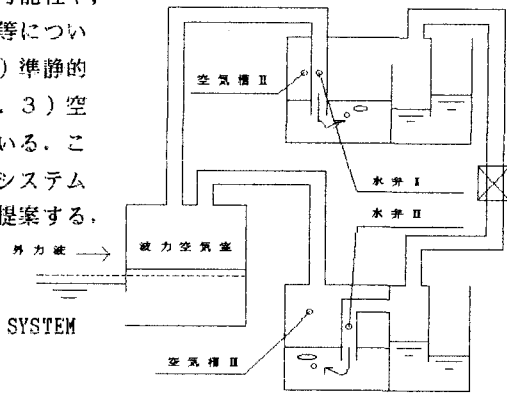


図-1

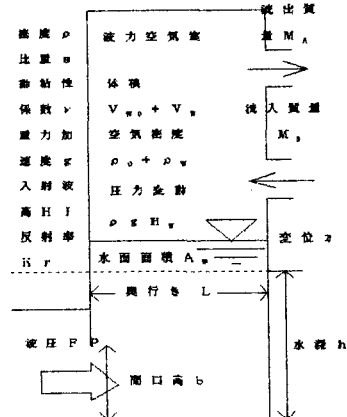


図-2

一方気体の状態方程式は、

$$\rho g (H_0 + H_w) = R (T_0 + T_w) (\rho_0 + \rho_w)$$

熱量に関しては、

$$C_p \frac{d}{dt} (\rho_0 + \rho_w) (V_{w0} + V_w) (T_0 + T_w) \\ = -\rho g (H_0 + H_w) \frac{d}{dt} V_w - M_A (T_0 + T_w) C_p \\ + M_B (T_0 + T_w)$$

となる。これらの方程式を $H_w \gg H_0, T_0 \gg T_w$ と仮定すると、変動量について線形化され次の3式を得る。

$$\rho_0 \frac{d}{dt} V_w + V_{w0} \frac{d}{dt} \rho_w = -M_A + M_B$$

$$\rho g H_w = R (T_0 \rho_0 + T_w \rho_w)$$

$$C_p \rho_0 V_{w0} T_0 \frac{d}{dt} (1 + \frac{T_w}{T_0} + \frac{V_w}{V_{w0}} + \frac{\rho_w}{\rho_0}) \\ = -\rho g H_w \frac{d}{dt} V_w - T_0 C_p (M_A - M_B)$$

空気槽の空気の運動にも同じ考え方が適用できよう。

その場合は添え字をAまたはBにかえればよい。

2. 3 水弁(整流弁)(図-5参)

文献¹⁾より水弁Iをはさむ圧力差は、 u_n を水弁管内の空気の質量流速 f_u を損失関数として、

$H_w - H_A > H_{wA}$ のとき

$$H_w - H_A = H_{wA} + d_A f_u (u_n \sqrt{(2g d_A)})$$

$H_w - H_A < H_{wA}$ のとき $M_A = 0$

水弁IIでは、添え字をBに変える。

2. 4 ターピンを通過する流れ

$H_A - H_B > 0$ のとき

$$M_T = \rho_0 C_o \varepsilon A_n \sqrt{2g (H_A - H_B)} \rho / \rho_0 ,$$

$$\varepsilon = 1 - \frac{3}{4\kappa} \frac{H_B - H_E}{H_E}, \kappa = \text{比熱比} (= 1.043)$$

ここに M_T はターピンを流れる質量流速、 C_o は流量係数 A_n はノズル断面積である。

各パートのモデル化は以上であるが、やはりシステム全体として取り扱うとかなり複雑となる。未知数の数は30個であり、関係式も30本得られるので、解は見つかるはずである。ただし水弁やターピンでは条件付きとなるため、単純な線形MATRICKでは解くことは難しく、数値積分等が必要である。

参考文献

- 1) 沢本正樹・首藤伸夫・渡辺国也・新島洋明：水弁を通過する空気流のエネルギー損失、土木学会論文集、第375号/H-6, 329-332, 1986.
- 2) 田中重人・澤本正樹：水弁を用いた波力発電ケーソンの基礎的研究、東北支部技術研究発表会講演概要、146-147, 1987.

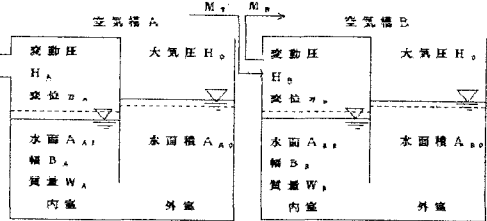


図-3

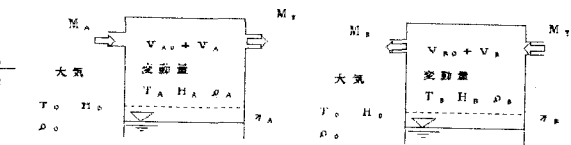


図-4

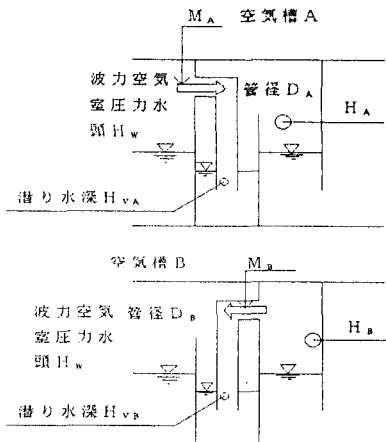


図-5